

مطالعه بافت‌های مختلف اندیزیت، انواع دولومیت و بررسی کیفیت مخزنی سازند دالان در یکی از چاههای میدان گازی پارس جنوبی

رقیه فلاح بگتاش^۱، محمد حسین آدابی^{۲*}، بهرام موحد^۳

۱- دانشجوی کارشناسی ارشد زمین‌شناسی، دانشکده علوم زمین، دانشگاه شهید بهشتی

۲- استاد گروه زمین‌شناسی، دانشکده علوم زمین، دانشگاه شهید بهشتی

۳- دکترا، سرپرست پروژه‌های نفت و گاز شرکت پارس جنوبی

پذیرش مقاله: ۱۳۹۰/۹/۲۰

تأیید نهایی مقاله: ۱۳۹۰/۱۲/۸

چکیده:

سازند دالان به سن پرمیں به همراه سازند کنگان به سن ترباس به عنوان بزرگترین مخزن گازدار در منطقه زاگرس و خلیج فارس، حدود ۵۰ درصد از ذخایر گازی را به خود اختصاص داده اند. سازند دالان با رخساره کربناته و تبخیری مابین سازند تخریبی فراconون در پایین و کربنات‌های کنگان در بالا قرار گرفته است. در این مطالعه، به شناسایی میکروفارسیس‌ها، تفسیر محیط رسوبی و فرآیندهای دیاژنزی سازند دالان در چاه شماره X در میدان گازی پارس جنوبی پرداخته شده است. مطالعات میکروسکوپی منجر به شناسایی ۴ رخساره با حروف اختصاری A, B, C, D گردیده است که این رخساره‌ها از نظر محیط رسوبگذاری به ۴ کمربند رخساره‌ای مربوط به محیط جذرومدی، لاغون، پشه کربناته و دریایی باز تعلق دارند و براساس شواهد موجود بر روی یک پلاتفرم کربناته از نوع رمپ هموکلینال نهشته شده اند. از مهمترین فرآیندهای دیاژنزی در سازند دالان اندیزیت و دولومیتی شدن می‌باشد که به لحاظ پدیده‌های دیاژنزی سیمان اندیزیتی بعد از پدیده دولومیتی شدن، غالب‌ترین پدیده دیاژنزی در این سازند می‌باشد. بررسی‌های پتروگرافی سازند دالان در این منطقه نشان می‌دهد که سیمان اندیزیت به عنوان یک محصول دیاژنتیکی عمده تخلخل‌های موجود در سازند را مسدود کرده است. از بین بافت‌های مختلف اندیزیت، نوع پرکننده‌ی تخلخل و فرآگیر بیشترین تاثیر را بر کیفیت مخزنی داشته است و با گسترش در رخساره‌های دولوگرینستونی و دولوپکستونی دانه پشتیان و پرکردن تمامی فضاهای خالی طی تدفین کم‌عمق، کیفیت مخزنی آنها را به شدت کاهش داده است. اما از طرفی با توجه به انحلال‌پذیری این نوع سیمان در مراحل بعدی دیاژنز و ایجاد تخلخل ثانویه، کیفیت مخزنی آنها بهبود یافته است. تشکیل سیمان اندیزیت در رخساره‌های دولومیتی بیانگر تاثیر شورابه‌های غنی از سولفات و منیزیم در فرآیند دولومیتی شدن می‌باشد. براساس مطالعات پتروگرافی ۴ نوع دولومیت

شناسایی گردید. با استفاده از داده‌های تخلخل و تراوایی و لاغهای پتروفیزیکی و استفاده از دو متدهای FZI و Log FZI، ۸ واحد جریانی و ۴ واحد مخزنی برای توالی مورد مطالعه شناسایی گردیده است.

واژه‌های کلیدی: بافت‌های مختلف انیدریت، دولومیتی شدن، کیفیت مخزنی، سازند دالان، واحد جریانی.

اند و در نتیجه خصوصیات مخزنی آنها نیز متفاوت است.

با توجه به این که رسوبات تبخیری در ایران و خصوصاً در حوضه نفت خیز جنوب غرب ایران غالباً با رسوبات کربناته همراه هستند، مطالعه دیاژنز و کیفیت مخزنی کربنات‌ها بدون توجه به نقش تبخیری‌ها ممکن نبوده و برای درک این مسائل نیاز مبرم به مطالعه و شناخت رسوبات تبخیری همراه وجود دارد. فرآیندهای دیاژنزی از جمله مهمترین عواملی هستند که در کنترل کیفیت مخزنی مخازن کربناته می‌توانند موثر باشند (Flugel, 2010; Cai-neng et al., 2008). از جمله این فرآیندهای دیاژنسی تشکیل سیمان انیدریت در این مخازن می‌باشد. طبیعتاً گسترش انیدریت به ویژه به صورت سیمان پرکننده حفرات بر کیفیت مخزنی تاثیرگذار است.

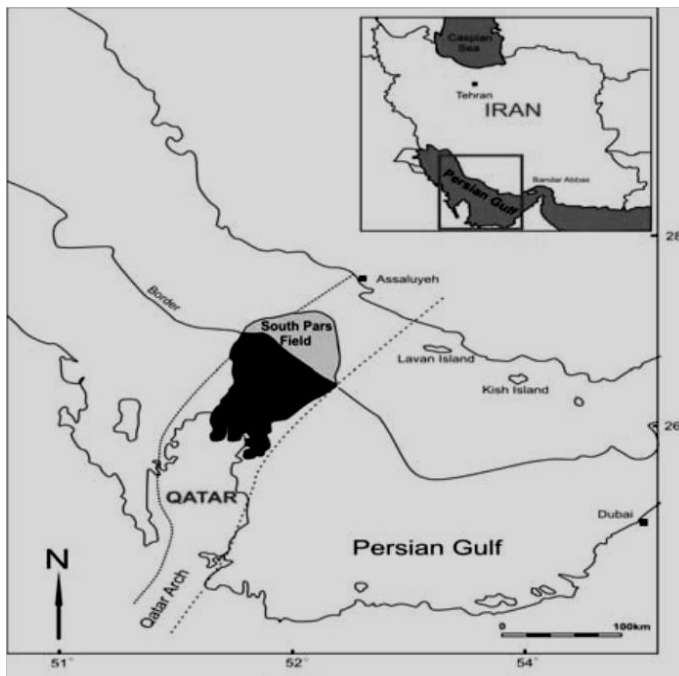
موقعیت جغرافیایی میدان گازی پارس جنوبی

میدان پارس جنوبی در موقعیت ۵۲/۵ تا ۵۲/۵ درجه شرقی و ۲۶/۵ تا ۲۷ درجه شمالی، در حدود ۱۰۰ کیلومتری بندر عسلویه، ۱۷۵ کیلومتری بندر کیش، ۱۰۵ کیلومتری سواحل قطر واقع شده است. میدان مزبور وسعتی بالغ بر ۶۰۰۰ کیلومترمربع را شامل می‌شود. آنچه در نقشه‌های منطقه قابل مشاهده است، پارس جنوبی (گنبد شمالی

مقدمه

سازند دالان به سن پرمین به همراه سازند کنگان به سن تریاس در حوضه رسوبی خلیج فارس، حدود ۵۰ درصد از ذخایر گازی را دارا می‌باشند (Konyuhov and Maleki, 2006). سازند دالان در نواحی زاگرس چین- خورده و بخش‌های وسیعی از خلیج فارس به عنوان اصلی‌ترین سازند گازدار به شمار می‌رود (Kashfi, 2000). از نظر خصوصیات مخزنی این سازند به سه واحد مخزنی K3 و K4 (dalān bālāyi) و K5 (dalān pāyīnī) تقسیم می‌شود که زون K4 غنی‌تر از زون-های دیگر است. بخش انیدریتی نار بین لایه-های k4 و k5 قرار گرفته و بخش‌های دالان پایینی و دالان بالایی را از هم جدا می‌کند. بخش‌های پایینی و بالایی شامل رسوبات کربناته بوده که در اثر تغییرات دیاژنسی در حال حاضر از نظر سنگ‌شناسی از ترکیب سنگ آهک، دولومیت و انیدریت تشکیل شده‌اند. نوع رخساره در نوع و شدت تاثیر پدیده‌های دیاژنتیکی بسیار اثرگذار است. نوع محیط و موقعیت آن در حوضه رسوبی نیز در تغییرات ویژگی‌های مخزنی موثر بوده است به طوری که رخساره‌های نزدیک به ساحل به دلیل مجاورت و تاثیرپذیری بیشتر از سیالات فوق العاده شور و سایر سیالات، فرآیندهای دیاژنسی را متحمل شده-

قطر) دارای طول تقریبی ۱۵۰ کیلومتر و عرض تقریبی ۷۰ کیلومتر می‌باشد (شکل ۱).



شکل ۱- موقعیت جغرافیایی میدان پارس جنوبی

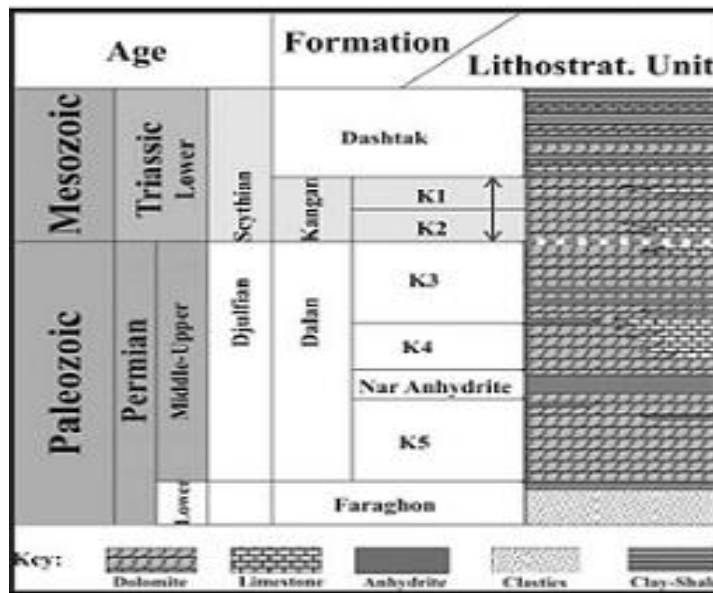
پارس جنوبی از دو متد مختلف تعیین واحدهای جریانی با استفاده از نشانگر زون جریان و متد پلات تغییریافته چینهای لورنر استفاده گردیده است. تعیین بافت‌های مختلف انیدریت با توجه به طبقه‌بندی لوسیا (Lucia, 2007) و طبقه‌بندی طبقه‌بندی لوسیا (Meyer, 2005) صورت گرفته است.

چینه شناسی سازند دالان
در مقطع مورد مطالعه سازند دالان به سن پرمین و ضخامت ۳۷۱ متر از لیتولوژی غالب آهک و دولومیت تشکیل شده است (شکل ۲). مطالعات قبلی شرکت بربوری این میدان منجر به تقسیم سازندهای کنگان دالان به پنج بخش مخزنی k1، k2، k3، k4، k5 گردید. در واقع لایه‌های مخزنی k1 و k2 معادل سازند کنگان، k3 و k4 معادل بخش دالان بالایی و k5 معادل بخش غیرمخزنی دالان پایینی می‌باشند. بخش انیدریتی

روش مطالعه

جهت شناسایی و بررسی رخساره‌ها و فرآیندهای دیاژنزی (دولومیتی‌شدن و انیدریتی‌شدن) و تعیین محیط رسوبی سازند دالان، تعداد ۸۵۶ عدد مقطع نازک تهیه شده از مغذه‌های حفاری مورد مطالعه قرار گرفته است. این مقاطع توسط محلول آلیزارین (Red-S) و فروسیانید به منظور تشخیص مینرال کلسیت از دولومیت به روش دیکسون (Dickson, 1965) رنگ‌آمیزی شده است. برای مطالعه آهک‌ها از طبقه‌بندی دانهام (Dunham, 1962)، برای نامگذاری دولومیت‌ها از تقسیم‌بندی آدابی (Adabi, 2009) و در توصیف میکروفاسیس‌ها از تقسیم‌بندی فلوگل (Flügel, 2010) استفاده گردیده است. در این مطالعه جهت بررسی کیفیت مخزنی و به منظور تعیین واحدهای جریانی (مخزنی) و غیرمخزنی (سدی و تله‌ای) در مخزن دالان میدان گازی

(Szabo and Kheradpir, 1978)

نار بین لایه‌های k4 و k5 قرار گرفته و بخش‌های
دالان پایینی و دالان بالایی را از هم جدا می‌کند

۲- ستون چینه‌شناسی سازند دالان در میدان گازی پارس جنوبی (اقتباس از Aali et al., 2006).

بایوکلاستی و اثیدی رو به دریا شروع می‌شود و سپس رخساره سد مرکزی، سد رو به لagon (خشکی) با اتریزی متوسط، رخساره‌های محدود شده لagon، پهنه جذرومی و در نهایت رخساره‌های تبخیری مربوط به محیط سبخایی گسترش می‌یابند. براساس رخساره‌ها و کمرندهای رخساره‌ای شناسایی شده محیط رسوبگذاری را می‌توان یک رمپ کربناته هم‌شیب^۱ معرفی کرد. براساس مطالعات قبلی (Rahimpour et al., 2010) اغلب در زون‌های فاقد موجودات ریف ساز گسترش یافته‌اند. زیرا این موجودات علاوه بر تولید رسوب، اثر سدی بر اتریزی محیط دارند و بنابراین مورفولوژی و هیدرودینامیک حاکم بر محیط را تحت تأثیر قرار می‌دهند. انقراض دسته جمعی موجودات (Heydari et al., 2009) شرایط را برای گسترش رمپ‌ها مساعدتر کرده است. توالی تریاپس زیرین همراه با انقراض عظیم موجودات در انتهای پرمین، یکی از دوره‌های

بحث

میکروفاسیس‌ها

پیش از بررسی بافت‌های مختلف انیدریت، انواع دولومیت و بررسی کیفیت مخزنی، ابتدا به شرح مختصری در ارتباط با میکروفاسیس‌ها همراه با فرآیندهای دیاژنتیکی غالب آنها می‌پردازیم.

مطالعه مقاطع نازک منجر به شناسایی ۱۸ میکروفاسیس مربوط به ۴ کمرنده رخساره‌ای پهنه جذرومی، لagon، پشه کربناته و دریای باز می‌باشد که هر کدام از این میکروفاسیس‌ها و کمرندهای رخساره‌ای شناسایی شده به همراه اجزای تشکیل دهنده (اسکلتی و غیراسکلتی) و فرآیندهای دیاژنزی غالب در هر میکروفاسیس در جدول شماره ۱ و شکل ۳ نشان داده شده‌اند.

محیط رسوبی

رخساره‌های موجود در سازند دالان ویژگی‌های محیطی شاخص مربوط به سکانس‌های کربناته - تبخیری را نشان می‌دهند به این صورت که در قاعده چرخه با رخساره‌های پرانرژی سد

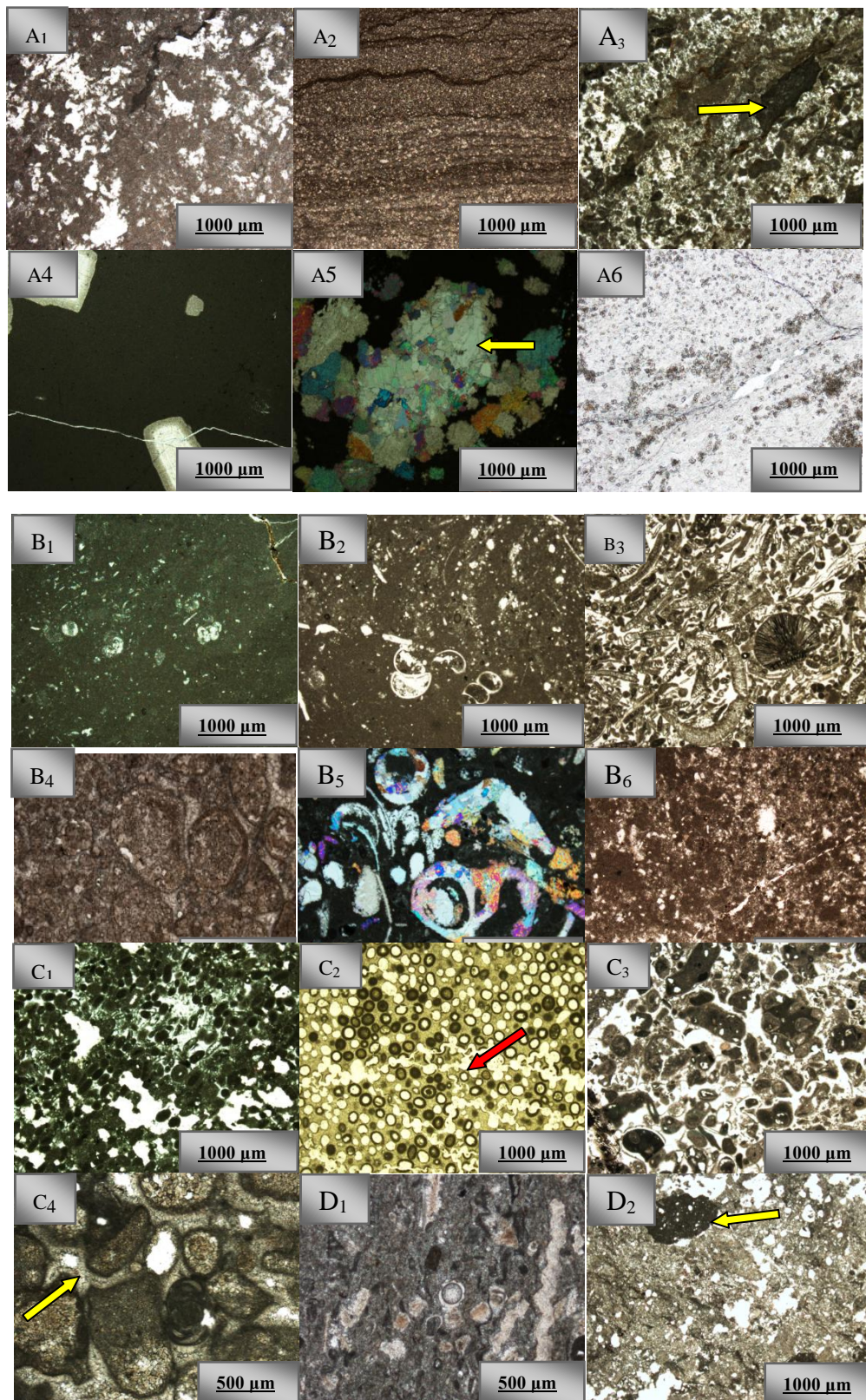
نشان می‌دهد. و در شکل ۵ توالی رسویی سازند دالان در چاه شماره X به همراه کمربندهای رخساره‌ای شناسایی شده نشان داده شده است.

گسترش رمپ‌های کربناته به علت نقش کم اهمیت موجودات ریفساز است (Burchette and Wright, 1992). شکل ۴ پراکندگی میکروfasیس‌های شناسایی شده در سازند دالان را

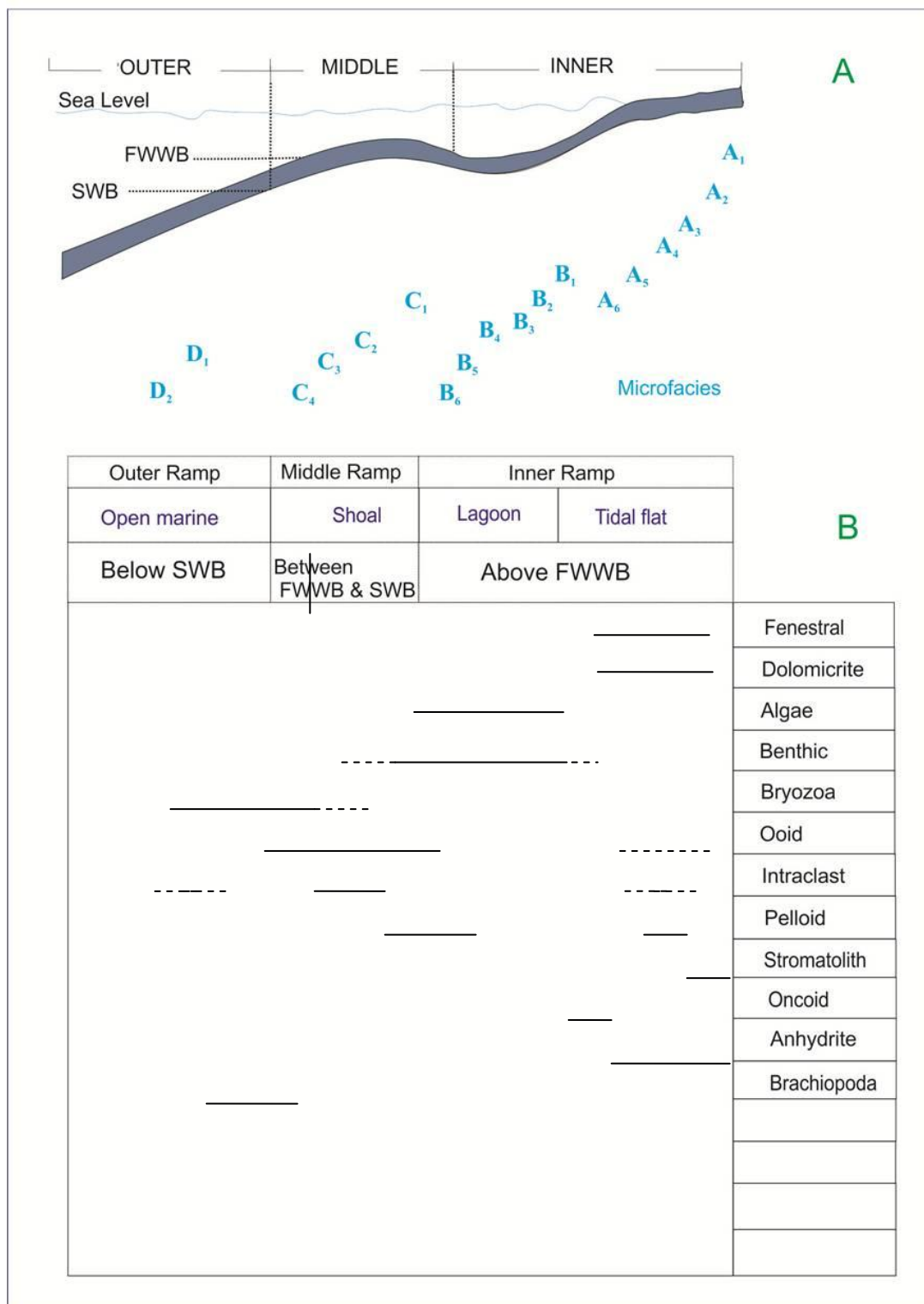
جدول ۱- میکروfasیس‌ها و کمربندهای رخساره‌ای شناسایی شده در سازند دالان در چاه شماره X به همراه آلوکم-های اصلی (اجزای اسکلتی و غیراسکلتی) و فرآیندهای دیاژنتیکی غالب.

| زیرمحیط شناسایی شده | عارض دیاژنتیکی غالب | دانه‌ها | | عنوان میکروfasیس | کد رخساره |
|------------------------|---|-------------------------------|--|--|--------------|
| | | اجزاء غیر اسکلتی | اجزاء اسکلتی | | |
| پهنه جذرومودی | اکسید آهن، استیلولیت، اتحال انیدریتی شدن و دولومیتی شدن | - | - | دولومادستون با فلبریک فنستران | A1 |
| پهنه جذرومودی | دولومیتی شدن، انیدریتی شدن، رگچه‌های اتحالی و آهن دار شدن | - | - | باپندستون استروماتولیتی با فلبریک فنستران | A2 |
| پهنه جذرومودی | دولومیتی شدن، میکریتی شدن، استیلولیت، رگچه‌های اتحالی و آهن دار شدن | - | - | پلوبیدل اینترالکلس مادستون اوکستون | A3 |
| پهنه جذرومودی | دولومیتی شدن، استیلولیت و شکستگی | - | - | دولومادستون با بلورها و قالب‌های پراکنده انیدریت | A4 |
| پهنه جذرومودی | دولومیتی شدن، استیلولیت و رگچه‌های تبخیری | اینترالکلس و پلوبید | - | دولومادستون با ندولهای انیدریتی | A5 |
| پهنه جذرومودی | دولومیتی شدن | - | - | انیدریت متبلور (لایه‌ای) | A6 |
| لagon | تحال، تراکم، استیلولیت، شکستگی، دولومیتی شدن و آهن دار شدن | - | قطعات فرامینیفر (میلوبید و تکستولاپر) و دوکه‌ای | مادستون بایوکلاست دار | B1 |
| لagon | تحال، شکستگی، دولومیتی شدن، سیمانی شدن، اتحال، انیدریتی شدن، تراکم، آهن دار شدن و استیلولیت | پلوبید و الید | فرامینیفرهای بنتیک (میلوبید)، گاستروپودها و قطعات دوکه‌ای و جلکی | مادستون اوکستون بایوکلاستی دارای آشفتگی زیستی | B2 |
| لagon | دولومیتی شدن، اتحال، تراکم و میکریتی شدن | آنکوئید و الید | فرامینیفرهای بنتیک | آنکوئید پکستون | B3 |
| لagon | استیلولیت، میکریتی شدن، دولومیتی شدن، انیدریتی شدن و اتحال | - | جلبک سیز فراوان (داسی کلاداسه)، فرامینیفرهای بنتیک | گرینستون جلبکی | B4 |
| لagon | دولومیتی شدن، میکریتی شدن، انیدریتی شدن، استیلولیت، اتحال و پیریتی شدن | - | جلبک سیز (داسی کلاداسه)، پرموکالکالوس، فرامینیفرهای بنتیک، گاستروپود و دوکه‌ای | بایوکلاست پکستون | B5 |
| لagon | دولومیتی شدن، انیدریتی شدن، اتحال، تشکیل استیلولیت، شکستگی و آهن دار شدن | پلت‌های مدفعی و پلوبید فراوان | خارپوست، گاستروپودها، قطعات جلکی و دوکه‌ای | پلوبیدال وکستون- | B6 |
| پشته کربناته | تحال، دولومیتی شدن، استیلولیت، سیمانی شدن، میکریتی شدن و انیدریتی شدن | الید و پلوبید | دوکه‌ای و فرامینیفرهای میکریتی شده | پلوبید الید گرینستون | C1 |
| پشته کربناته | تحال، استیلولیت، تراکم فیزیکی، نئومورفیسم، سیمانی شدن، دولومیتی شدن، انیدریتی شدن و میکریتی شدن | الید فراوان | قطعات دوکه‌ای، خارپوست، گاستروپود و عمدتاً فرامینیفرهای کوچک | الید گرینستون | C2 |
| پشته کربناته | دولومیتی شدن، اتحال، انیدریتی شدن، نئومورفیسم، سیمانی شدن، پیریتی شدن، استیلولیت، شکستگی | الید و اینترالکلس | دوکه‌ای، خارپوست و فرامینیفرهای بنتیک | الید اینترالکلس گرینستون | C3 |
| پشته کربناته | میکریتی شدن، دولومیتی شدن، اتحال، تراکم و شکستگی آلوکم‌ها، سیمانی شدن و تشکیل رگچه‌های اتحالی، نئومورفیسم و استیلولیت | اینترالکلس فراوان و الید | فرامینیفرهای بنتیک و قطعات جلکی، کرینوئید، بریوزوثر و قطعات دوکه‌ای | اینترالکلس بایوکلاست گرینستون | C4 |

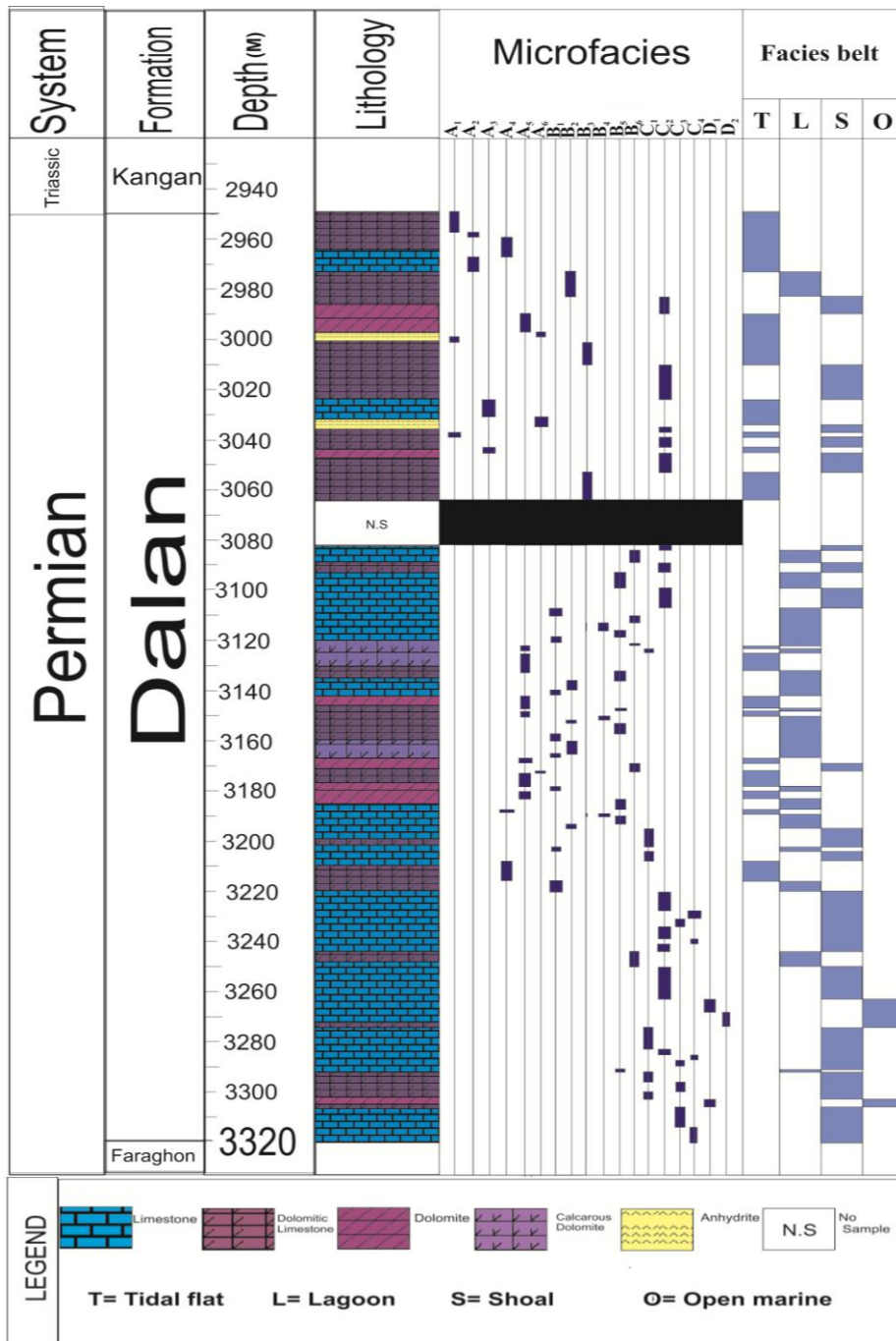
| | | | | | |
|-----------|---|--------------------------|---|--|----------------------|
| دریای باز | استیلولیت، میکریتی شدن، شکستگی، تشکیل رگچه های اتحالی و اتحال | - | قطعات برآکسیپود، دوکفهای پلازیک، فرامینیفر و بریوزوثر | بایوکلاست و کسٹون ایکسٹون | D₁ |
| دریای باز | شکستگی، استیلولیت، اتحال و میکریتی شدن | اینتراکلسهای میکریتی شده | دوکفهای پلازیک و برآکسیپود | بایوکلاست پکستون همراه با اینتراکلسهای میکریتی | D₂ |



شکل ۳- تصاویر میکروسکوپی از میکروفاسیس‌های شناسایی شده در سازند دلان در چاه شماره X (عنوانین میکروفاسیس در جدول ۱ ارائه شده است).



شکل ۴- پراکندگی میکروفاسیس‌ها در رمپ کربناتی (A) و پراکندگی اجزا کربناتی تشکیل‌دهنده سازند دلان مربوط به کمربندهای رخسارهای مختلف (B).



شکل ۵- توالی رسوی سازند دالان به همراه کمربندهای رخسارهای شناسایی شده در چاه شماره X. در این شکل، نحوه توزیع مجموعه های رخسارهای در توالی قائم نشان داده شده است.

دالان شده است. براساس مطالعات پتروگرافی دولومیت های مشاهده شده در سازند دالان عبارتند از دولومیت نوع اول یا دولومیکرایت، دولومیت نوع دوم یا دولومیکرواسپارایت، دولومیت نوع سوم یا دولواسپارایت و سیمان دولومیتی (Adabi, 2009).

دولومیتی شدن

دولومیتی شدن در سازند دالان از مهم ترین فرآیندهای دیاژنز می باشد. این فرآیند بیش از ۷۰ درصد توالی را در سنگ مخزن تحت تأثیر قرار داده است و به طور کل دولومیتی شدن باعث افزایش کیفیت مخزنی سازند

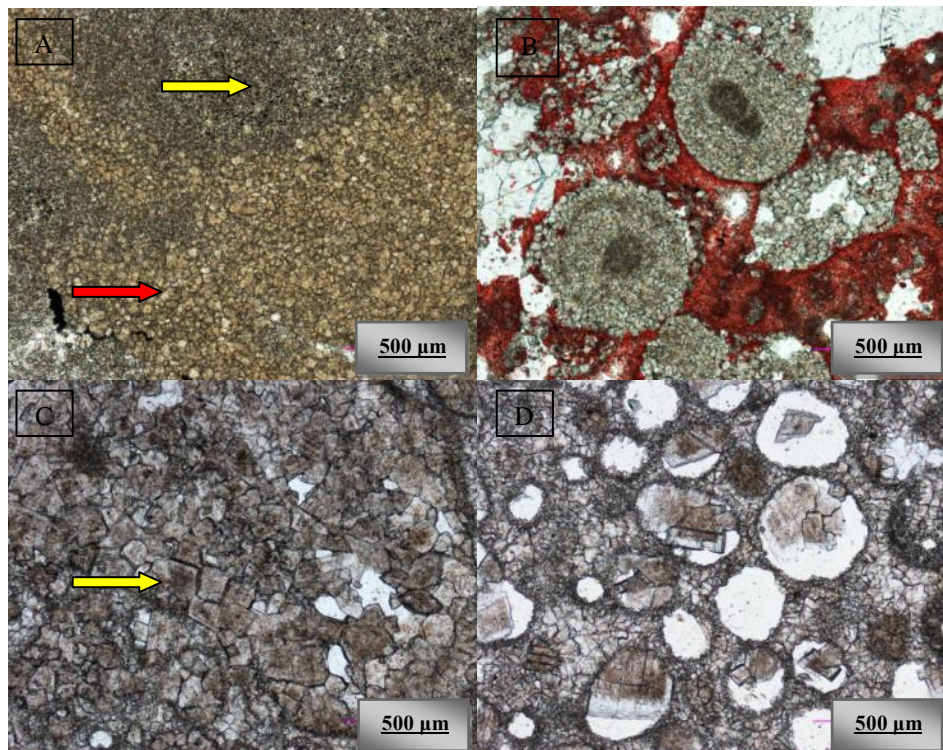
اشباع‌شدگی پایینی دارد (Sibley and Gregg, 1987).

دولومیت نوع سوم یا دولواسپارایت: اندازه بلورها در این نوع دولومیتها بین ۶۲ تا حدود ۲۵۰ میکرون در تغییر است. دولومیتهای نوع سوم بیانگر جانشینی دیاژنتیکی سنگ آهک‌های قبلی و یا تبلور-مجدد دولومیتهای تشکیل شده اولیه می‌باشند، و از نظر زمانی بعد از دولومیتهای نوع اول و دوم ایجاد شده‌اند (Adabi, 2009). از نظر بافت این نوع دولومیت مخرب و به طور گستردگی تعدیل کننده و یا محو کننده آثار دیاژنز اولیه است، بنابراین در این نوع دولومیت، بافت رسوبی اولیه قابل تشخیص نیست. این نوع دولومیت دارای فراوانی قابل ملاحظه‌ای در سازند دلان می‌باشد (شکل C-۶).

سیمان دولومیتی: دولومیتهای متوسط تا درشت بلور که به صورت بلورهای هماندازه و متراکم تشکیل می‌شوند و بیشتر به صورت حفره پرکن می‌باشند. اندازه این نوع دولومیتها بزرگ‌تر از ۲۵۰ میکرون می‌باشد. این نوع دولومیت در مراحل آخر فرآیندهای دیاژنتیکی تشکیل گردیده و مربوط به مکانیسم تدفینی هستند. این نوع سیمان می‌تواند در مراحل نهایی دیاژنس به علت مهاجرت سیالات غنی از منیزیم تشکیل شود (Hood et al., 2004). در سازند دلان این سیمان‌ها به دلیل پرکردن تخلخل‌های قالبی و یا حفره‌ای در ژرفاهای متوسط تا زیاد و پس از فرآیند اتحال تشکیل شده‌اند (شکل D-۶).

دولومیت نوع اول یا دولومیکرایت: دولومیتهای بسیار ریز بلور که میانگین اندازه این دولومیتها حدود ۱۰ میکرون می‌باشد (شکل A-۶). در دولومیکرایتها هیچ شواهدی وجود ندارد که نشان دهد که آنها تحت تاثیر فرآیندهای دیاژنتیکی تشکیل شده‌اند. لذا دولومیکرایت‌ها به عنوان دولومیتهای تشکیل شده در مراحل اولیه رسوبگذاری تلقی می‌شوند. این دولومیتها متراکم و فاقد تخلخل، بدون فسیل، همراه با آثاری از بافت رسوبی اولیه مثلاً امیناسیون و اینتراکلسیت می‌باشند (Adabi, 1390). با توجه به فایریک و اندازه خیلی ریز بلورها، حفظ بافت اولیه رسوبی و عدم وجود فسیل به نظر می‌رسد که این نوع دولومیتها تحت شرایط سطحی، دمای پایین و در محیط‌های سوپراتایdal (بالای حد جذرومود) تا قسمت بالایی اینترتاکلسیل تشکیل شده‌اند (Adabi, 2009). آب دریا و یا محلول‌های بین‌ذره‌ای^۱ غنی از منیزیم احتمالاً عامل ایجاد این نوع از دولومیت می‌باشد (Adabi, 2009).

دولومیکروواسپارایت: این نوع دولومیتها دارای اندازه‌ای بین ۱۶ تا ۶۲ میکرون می‌باشند و بر اثر تبلور مجدد دولومیکرایتها حاصل شده‌اند (شکل B-۶). در نمونه‌های که به طور جزئی تحت تاثیر فرآیند تبلور مجدد قرار گرفته‌اند، اثراتی از بافت اولیه دولومیکرایتها به خوبی حفظ شده است (Adabi, 2009). در سازند دلان دولومیتها در زمینه کلستی پراکنده‌اند و این پدیده به این دلیل است که احتمالاً محلول دولومیتساز تا حدودی نسبت به دولومیت،



شکل ۶- A: دولومیکریت (فلش سفید) به همراه دولومیکرواسپارایت (فلش سیاه) در زمینه (مقطع شماره ۳۹، عمق ۲۹۶۴,۱۱ متر، نور معمولی). B: دولومیکرواسپارایت (ائید دولومیتی شده (Dolomitic ooids)، مرکز کرد و حاشیه شفاف نشان می دهد که محلول دولومیت ساز نسبت به کلسیت نزدیک به اشباع است، مقطع رنگ آمیزی شده، مقطع شماره ۳۷، عمق ۲۹۶۳,۵ متر، نور معمولی). C: دولواسپارایت (مقطع شماره ۲۵۱، عمق ۳۰۵۶,۴۶ متر، نور معمولی). D: رخساره اثیدی متوسط تا دانه درشت که فضای بین دانه ها توسط سیمان کلسیتی و قالب اثیدها توسط سیمان دولومیتی پرشده است (مقطع شماره ۲۵۰، عمق ۳۰۵۶,۰۹ متر، نور معمولی).

گازی پارس جنوبی را تحت تاثیر قرارداده است که یکی از مهمترین این فرآیندها تشکیل سیمان انیدریتی است که به صورت لایه ای، پوئیکیلوتوپیک، پرکننده تخلخل و فراگیر، ندولی، بلورهای پراکنده، پرکننده شکستگی و رگچه ای گسترش یافته است.

انیدریت پوئیکیلوتوپیک در طی مراحل مختلف دیاژنز در مخزن تشکیل شده است. در دولومادستون ها این نوع سیمان همراه با ندول-های انیدریت طی مراحل اولیه دیاژنز تشکیل شده است. اما در برخی دیگر از رخساره ها مانند دولوپکسیتون ها و گرینسیتون ها این نوع سیمان طی

بافت های مختلف انیدریت در مخزن مورد مطالعه:

به لحاظ پدیده های دیاژنزی سیمان انیدریتی بعد از پدیده دولومیتی شدن غالب ترین پدیده دیاژنزی در این سازند می باشد. فرآیندهای دیاژنسی مختلفی کیفیت مخزنی سازند دالان در میدان الف- انیدریت پوئیکیلوتوپیک! این نوع انیدریت اغلب به صورت جانشینی ماتریکس، دانه ها و سیمان های قبلی تشکیل شده و به صورت تجمعی از بلورهای بزرگ با گسترش نامنظم و پراکنده و در مواردی همراه با ادخال های دولومیت و ماتریکس آهکی می باشد (شکل ۷- A,B).

ج- لایه انیدریت: تبخیری‌های لایه‌ای معمولاً در پهنه جذرومدی تشکیل می‌شوند و به شکل ممتد و به ضخامت چند سانتی‌متر تا ده‌ها متر یافت می‌شوند. این انیدریت احتمالاً به صورت بلورهای ژیپس از سورابه‌های سبخایی تشکیل شده و سپس در اثر فرآیند از دست دادن آب به انیدریت تبدیل شده است. بدین معنی که لایه انیدریت حاصل رسوبگذاری بلورهای ژیپس در توده‌های آبی است که در حین تدفین به انیدریت تبدیل شده‌اند (Lucia, 2007). در سازند مورد مطالعه لایه انیدریت به طور متناوب در طول سازند همراه با رخساره‌های ریزبلور دولومادستونی مشاهده می‌شود. در مطالعات میکروسکوپی، لایه انیدریت شامل ترکیبی از بلورهای هم‌بعد و درهم باfte و با آرایش موازی و نیمه‌موازی و در مواردی همراه با بلورهای دولومیتی می‌باشد (شکل ۷-۸).

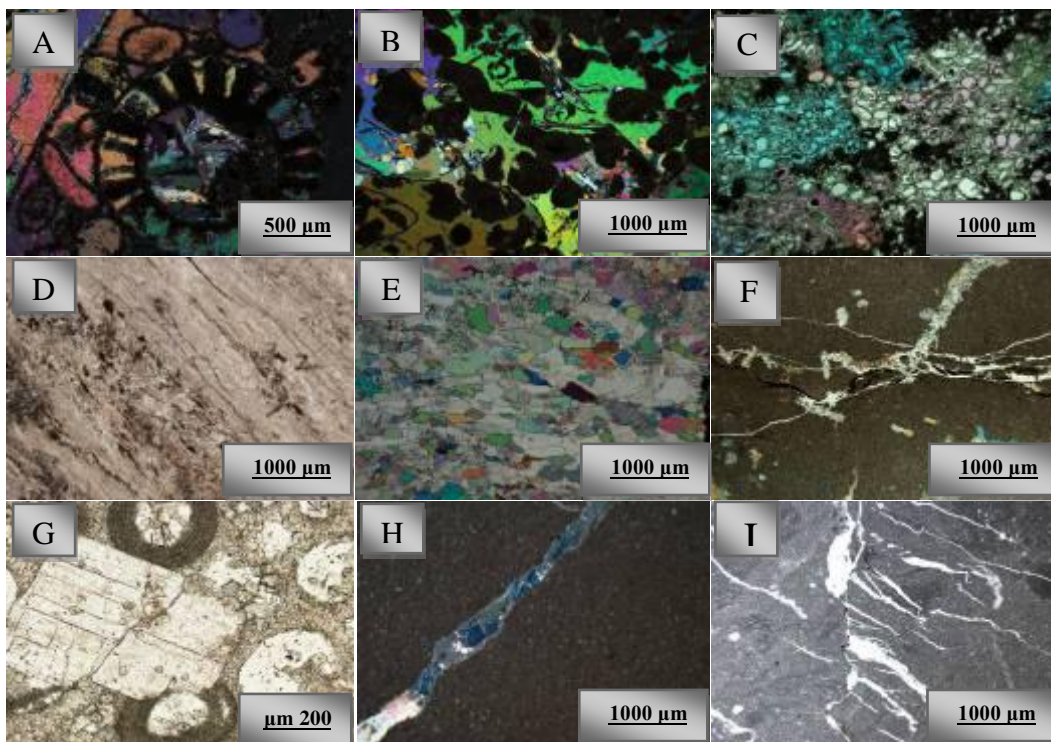
د- انیدریت با بافت نمدی و ندول‌های انیدریتی: این نوع انیدریت به صورت مجموعه‌ای از بلورهای ریز و درهم باfte با جهت‌گیری تصادفی می‌باشد که اصطلاحاً بافت نمدی یا آفانتیک نامیده می‌شود. ندول‌های انیدریتی در دولومستون‌ها به شکل توده‌ای ریز بلور یافت می‌شوند و معمولاً بر اثر جانشینی ژیپس یا انیدریت در طی مراحل اولیه دیاژنر در رسوبات تشکیل می‌شوند. اندازه قطر ندول‌ها از چند ده میکرون تا صد میکرون و حتی تا چند سانتی‌متر متغیر بوده و عدسی شکل تا بی شکل‌اند. ندول‌های انیدریت معمول طی مراحل اولیه دیاژنر در محیط‌های سبخایی و در رسوبات دانه ریز تشکیل می‌شوند (Gundogan et al., 2005). توسعه گرهکهای انیدریتی گاهی به حدی می‌رسد که تشکیل انیدریت با فایبریک قفس پرنده‌ای^۲ را می‌دهد

دیاژنر دفنی تشکیل گردیده است. وجود ادخال‌هایی از دولومیت یا سیمان‌های مراحل قبلی درون این نوع سیمان، همراهی آن با سیمان‌های مراحل تدفینی و تشکیل آن به صورت بلورهای بزرگ با رخ مشخص بیانگر تشکیل این سیمان در طی مراحل دیاژنر تدفینی می‌باشد (کددخایی و همکاران، ۱۳۹۰).

ب- سیمان انیدریت پرکننده تخلخل و فرآگیر^۱: این سیمان انیدریتی به صورت گستردگ و فرآگیر حفرات سنگ را پر نموده و لذا موجب کاهش شدید تخلخل و تراوایی سنگ‌های کربناته شده است. این فرایند در زیر و در مجاورت افق‌های تبخیری رایج گسترش دارد و موجب کاهش شدید کیفیت مخزنی گردیده است. این سیمان به صورت مجموعه‌ای از بلورهای بزرگ، یکنواخت و پیوسته فضای تخلخل بین دانه‌ها را پر می‌کند (کددخایی و همکاران، ۱۳۹۰). این نوع سیمان در سازند مورد مطالعه عمده‌تا در رخساره‌های دولوگرینستونی و دولوپکستونی دانه پشتیبان، پرکننده تخلخل بین دانه‌ای می‌باشد (شکل ۷-۸). و همچنین جانشین ائیدها و آلوكما و پرکننده تخلخل قالبی حاصل از انحلال ائیدها گردیده است. بنابراین از این نظر اثرات منفی بر روی کیفیت مخزنی دارد. با توجه به این که این سیمان بیشتر در رخساره‌های دانه پشتیبان تشکیل شده و در رخساره‌های گل پشتیبان مقدار آن بسیار ناچیز است می‌توان نتیجه گرفت که هر دو عامل رخساره و دیاژنر از عوامل کنترل کننده تشکیل این سیمان می‌باشند. اندازه درشت بلورهای این سیمان، بعضی ائیدهای دولومیتی-شده با این نوع سیمان، تشکیل آن بعد از سیمان‌های کلسیتی مراحل اولیه دیاژنر، همگی بیانگر تشکیل آن در طی دیاژنر دفنی می‌باشند.

شکستگی‌ها و استیلولیت‌ها تشکیل شده‌اند (شکل F-۷). به دلیل آنکه این ندول‌ها حجم کمی از رسوبات را تشکیل می‌دهند اثر مهمی بر روی تخلخل و تراوایی ندارند.

(Warren, 2006). در سازند مورد مطالعه ندول‌های انیدریت دفنی نیز تشکیل شده است که نسبت به ندول‌های مراحل اولیه دیاژنز از فراوانی کمی برحوردارند. این ندول‌ها در امتداد



شکل ۷-۸.A-B: سیمان انیدریت پوئیکیلوتوپیک به صورت بلورهای درشت با رخ مشخص که جانشین ماتریکس و آلومک‌ها در یک رخساره ائید-بایوکلاست گرینستون شده است (قطع شماره ۳۳۱۶،۱۰، عمق ۸۵۴ متر، نور پلاریزه)، C: پرشدگی دانه‌ها (ائیدها) توسط سیمان انیدریت فرآگیر (تخلخل‌های قالبی حاصل از انحلال ائیدها توسط سیمان انیدریتی فرآگیر پر شده است که این امر سبب کاهش کیفیت مخزنی شده است، قطع شماره ۳۱۴۴،۴۷ متر، نور پلاریزه)، D: انیدریت لایه‌ای در نور معمولی (قطع شماره ۳۰۱۸،۹ متر)، E: انیدریت لایه‌ای با بافت متراکم و در هم فشرده و بلورهای هم‌بعد با جهت-گیری نیمه موازی (قطع شماره ۳۰۳۲،۹۱ متر، نور پلاریزه)، F: ندول‌های انیدریت (در امتداد استیلولیت که بیانگر تشکیل آنها طی دیاژنس دفنی می‌باشد (فلش زرد)، قطع شماره ۳۱۷۴،۹۵ متر، نور پلاریزه)، G: بلور تبخیری منفرد در یک رخساره گرینستون ائیدی (قطع شماره ۳۲۵۴،۸۹ متر، نور معمولی)، H: سیمان انیدریت پرکننده شکستگی در یک رخساره مادستونی (قطع شماره ۳۲۹۲،۱۳ متر نور پلاریزه)، I: رگچه‌های تبخیری در رخساره دولومادستونی (قطع شماره ۳۱۲۲،۱۲ متر، نور معمولی).

می‌شوند. شکل بلورها به فرم لوزالوجهی، هم‌بعد و در مواردی به فرم چندبلوری است و اندازه آنها از چند میکرون تا چند میلی‌متر متغیر می‌باشد. وجود بلورهای پراکننده تبخیری در ماتریکس کلسیتی یا دولومیتی در رخساره‌های گل پشتیبان نشان‌دهنده رسوبگذاری در محیط‌های با درجه

۵- بلورهای تبخیری پراکننده و منفرد: این بلورها در اشکال و اندازه‌های مختلف و به صورت پراکننده در رخساره‌های مادستونی و دولومادستونی گسترش یافته‌اند. در مواردی به صورت پرکننده ترک‌ها و حفرات روزنه‌ای و به صورت فابریک چشم پرنده‌ای درون رسوبات دیده

دولومادستونی ریز بلورکه در مراحل اولیه دیاژنر دولومیتی شده‌اند تشکیل می‌شوند (شکل ۷-I). مکانیسم تشکیل این انیدریت محتمل است که در اثر آبزدایی ژیپس اولیه باشد و آب حاصل از این فرآیند به صورت رگه درون رسوبات جریان می‌یابد. در رخساره‌هایی که ندول انیدریتی حضور دارد، در اثر انحلال، سیال در امتداد استیلولیت جریان یافته و به مرور رگچه‌های انیدریتی را تشکیل داده است که خود شاهدی بر تدفینی بودن مکانیسم تشکیل رگچه‌ها می‌باشد.

توالی دیاژنتیکی تشکیل انواع بافت‌های انیدریت در سازند دالان

انواع بافت‌های مختلف انیدریت در سازند مورد مطالعه طی مراحل مختلف دیاژنر از محیط دیاژنر سطحی تا محیط تدفین کم عمق تا عمیق تشکیل شده‌اند. جدول ۲ به طور خلاصه توالی دیاژنری تشکیل بافت‌های انیدریت را نشان می‌دهد.

جدول ۲: توالی دیاژنتیکی انواع بافت‌های مختلف انیدریت در سازند دالان.

| Texture | Diagenetic Environment | |
|----------------------------|------------------------|---------|
| | Early | Late |
| Sparse evaporite crystal | — | |
| Nodular anhydrite | — | — — — · |
| Anhydrite layer | — | |
| Pervasive anhydrite | | — |
| Pioikilotopic anhydrite | | — |
| Evaporite veins | | — |
| Fracture filling evaporite | | — |

شوری بالا در اقلیم گرم و خشک بخش بین پهنه جذرومدی تا بالای جذرومدی (سبخا) یا لاغون-های محدود شده شور می‌باشد (Flügel, 2010). هم چنین می‌توانند طی مراحل اولیه دیاژنر تحت تاثیر سیالات فوق العاده شور (هایپرسالین) و یا در نتیجه عملکرد شورابه‌های حاصل از تبخیر به صورت جانشینی در دولومادستون‌های سبخا تشکیل شده باشند (شکل ۷-G).

و- سیمان انیدریت پرکننده شکستگی: این نوع سیمان بصورت بلورهای درشت و پرکننده شکستگی‌ها در رخساره‌های دانه ریز مادستونی مشاهده می‌شود (شکل ۷-H). این سیمان معمولاً طی دیاژنر تدفینی تشکیل گردیده و همراه سایر سیمان‌های تدفینی یافت می‌شود (کددخایی و همکاران ۱۳۹۰).

ز- رگچه‌های تبخیری: این رگچه‌ها بصورت نازک با حاشیه نامنظم و همراه با ندول‌های انیدریت بوده و از آنها منشعب می‌شوند. رگچه‌های تبخیری در رخساره‌های مادستونی و

مهمترین متدهای تعیین گونه های سنگی و واحدهای جریانی

در این مطالعه و به منظور تعیین واحدهای جریانی (مخزنی) و غیر مخزنی (سدی، تله ای) در مخزن دلان میدان گازی پارس جنوبی از دو متod مختلف استفاده گردیده است که در این دو متod اساس کار استفاده از داده های تخلخل و تراوایی می باشد:

۱- متod تعیین واحدهای جریانی با استفاده از

نshanگر زون جریان^۳

۲- متod پلات تغییر یافته چینه ای لورنز^۴

متod تعیین واحدهای جریانی با استفاده از نshanگر زون جریان^۵

واحدهای جریانی: گروه های پتروفیزیکی با تداوم فضایی^۶ در مقیاس میدان که آنها را تحت عنوان واحدهای هیدرولیکی یا زون های جریانی مخزنی^۷ نیز تعریف می کنند که می بایست طی بالا بردن مقیاس^۸ حفظ شده باشند. بنابراین واحدهای جریانی، واحدهای هیدرولیکی و زون های سرعت^۹ سرعت^۹ همگی به یک مفهوم به کار برده می شوند. در این متod ابتدا با استفاده از داده های تخلخل و تراوایی و فرمول های مربوطه مقادیر Log FZI را محاسبه می کنیم و سپس با ترسیم مقادیر Log FZI در برابر عمق و با توجه به دامنه تغییرات آن می توانیم تعداد بهینه واحدهای جریانی را تعیین کنیم. براساس متod FZI تعداد^۴ واحد جریانی برای توالی مورد مطالعه شناسایی

ارزیابی کیفیت مخزنی

مشکلات مخازن کربناته به علت ناهمنگ بودن و پیچیده بودن سیستم های کربناته به علت تغییرات گسترده در رسوبگذاری، فرآیندهای حمل و نقل رسوبات و تغییرات بعدی در اثر دیاژنز است. ویژگی مخزن کربناته، ناهمنگ بودن شدید تراوایی و تخلخل به خصوص در کربنات های پلاتفرمی در نتیجه تاریخچه رسوبگذاری و دیاژنز است. هدف از انجام مطالعات خصوصیات مخزنی، شناسایی ناهمنگی های قائم و جانبی در مخزن می باشد. مفاهیم واحد هیدرولیکی^۱ و واحد جریانی^۲ در اصل برای توصیف مخزن معرفی شده اند. در بررسی خصوصیات مخزنی، اطلاعات مختلفی به منظور فراهم آوردن یک توصیف کامل از خصوصیات استاتیک و دینامیک مخزن، به ویژه آنهایی که جریان سیال را تحت تاثیر قرار میدهد، با یکدیگر تلفیق می گردند. درک هتروژنی احتیاج به آنالیز مغزه، داده های پetroفیزیکی و لاغ ها دارد.

روشهای مختلفی برای بررسی کیفیت مخزنی و تقسیم کردن مخازن کربناته به واحدهای جریانی براساس توصیفات ژئومتری منافذ، فابریک سنگ یا گونه های سنگی ارائه گردیده است. این متدها در برگیرنده برقراری ارتباط بین کیفیت مخزنی و فابریک سنگ یا گونه های سنگی ها با استفاده از اطلاعات مغزه و لاغ می باشند (شکل ۸). مزه های واحدهای جریانی به طور کلی، واپسیه به رخساره هستند و می توان آنها را با استفاده از داده های دقیق حاصل از آنالیزهای مغزه و نیز خصوصیات منفذی به دست آمده از مطالعات پتروگرافی مقاطع نازک مشخص ساخت (Ahr, 2008).

3 -Flow Zone Indicator

4 -Stratigraphic Modified Lorenz Plot

5 -FZI

6 -Spatial Continuity

7 -Reservoir Flow Zones

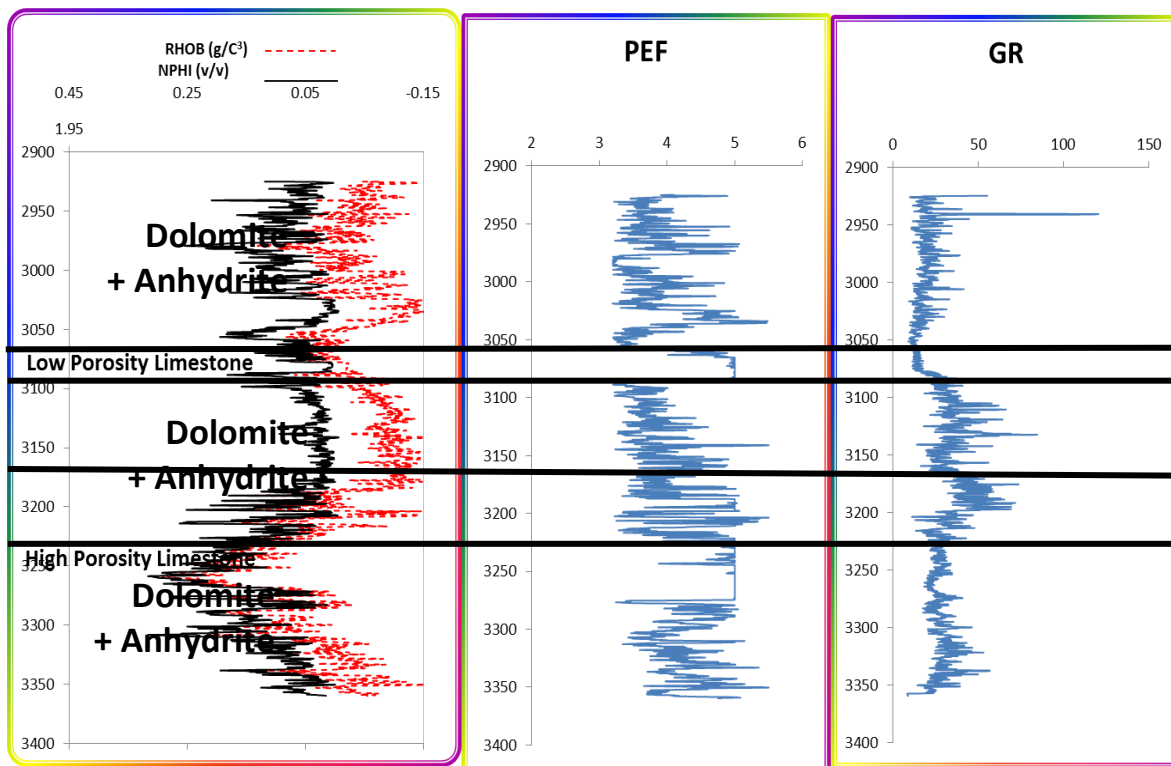
8 -Upscaling

9 -Speed Zones

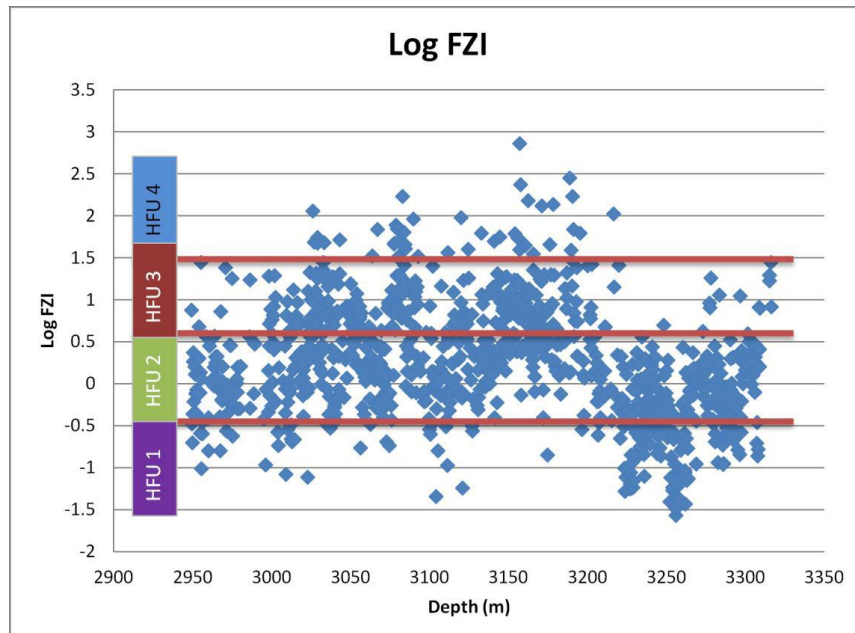
1- Hydraulic Unit

2 -Flow Unit

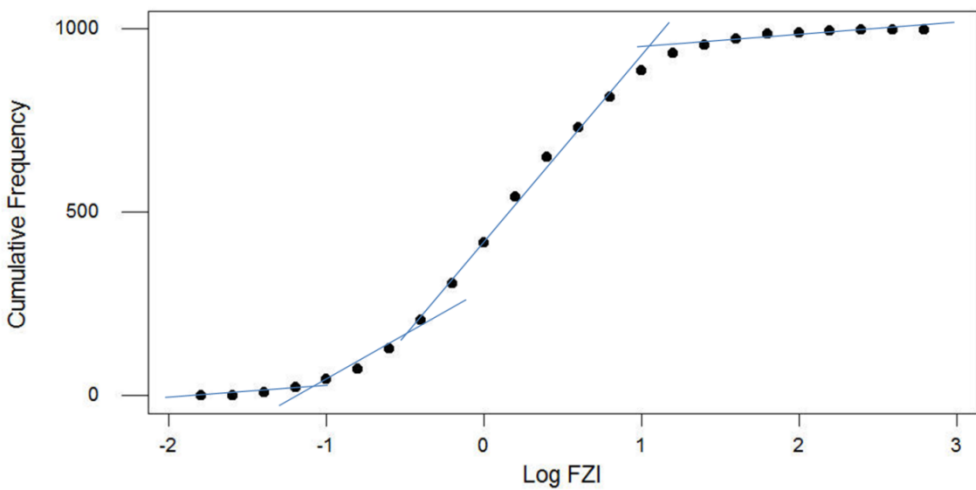
شده است که در شکل ۹ و ۱۰ و جدول ۳ این ۴ واحد جریانی (HFU) نشان داده شده‌اند.



شکل ۸- ترسیم لاغ‌های نوترنون (NPHI)، چگالی (RHOB)، اشعه گاما (GR) و فتوالکتریک (PEF) مربوط به چاه شماره X (پارس جنوبی) در مقابل عمق، لیتولوژی سازند و بخش‌های مخزنی با تخلخل بالا و پایین را نشان می‌دهد.



شکل ۹- ترسیم مقادیر Log FZI در برابر عمق به منظور تعیین دامنه تغییرات مقادیر FZI و مشخص نمودن تعداد بهینه واحدهای جریانی هیدرولیکی در متد نشانگر زون جریان در چاه شماره X.



شکل ۱۰- براساس این شکل، ۴ واحد جریانی را می‌توان از هم تفکیک کرد.

جدول ۳: واحدهای جریانی شناسایی شده براساس متدهای تعیین واحدهای جریانی با استفاده از نشانگر زون جریان FZI بر حسب مقادیر متفاوت Log FZI.

| HFU | 1 | 2 | 3 | 4 |
|---------|-------|------------------|------------|------|
| Log FZI | <-0.5 | (-0.5) to (+0.5) | 0.5 to 1.5 | >1.5 |

از متدهای لورنزا (Gomes et al., 2008) بر این اساس با استفاده از متدهای لورنزا زونهای زیر را بر حسب مقادیر متفاوت ظرفیت جریان و ظرفیت ذخیره می‌توان برای یک مخزن تعریف کرد.

۱. واحدهای مخزنی (Reservoir Units: R.U): واحدهایی با مقادیر تخلخل و تراوایی بالا و حداقل مقاومت در برابر جریان سیال.

۲. واحدهای بافلی (Baffle Units: Bf.U): واحدهایی که جریان سیال را از ورود به محل چاه منحرف می‌سازند.

۳. واحدهای سدی (Barrier Units: Br.u): واحدهایی که در درون مخزن مانع جریان یافتن سیال می‌شوند.

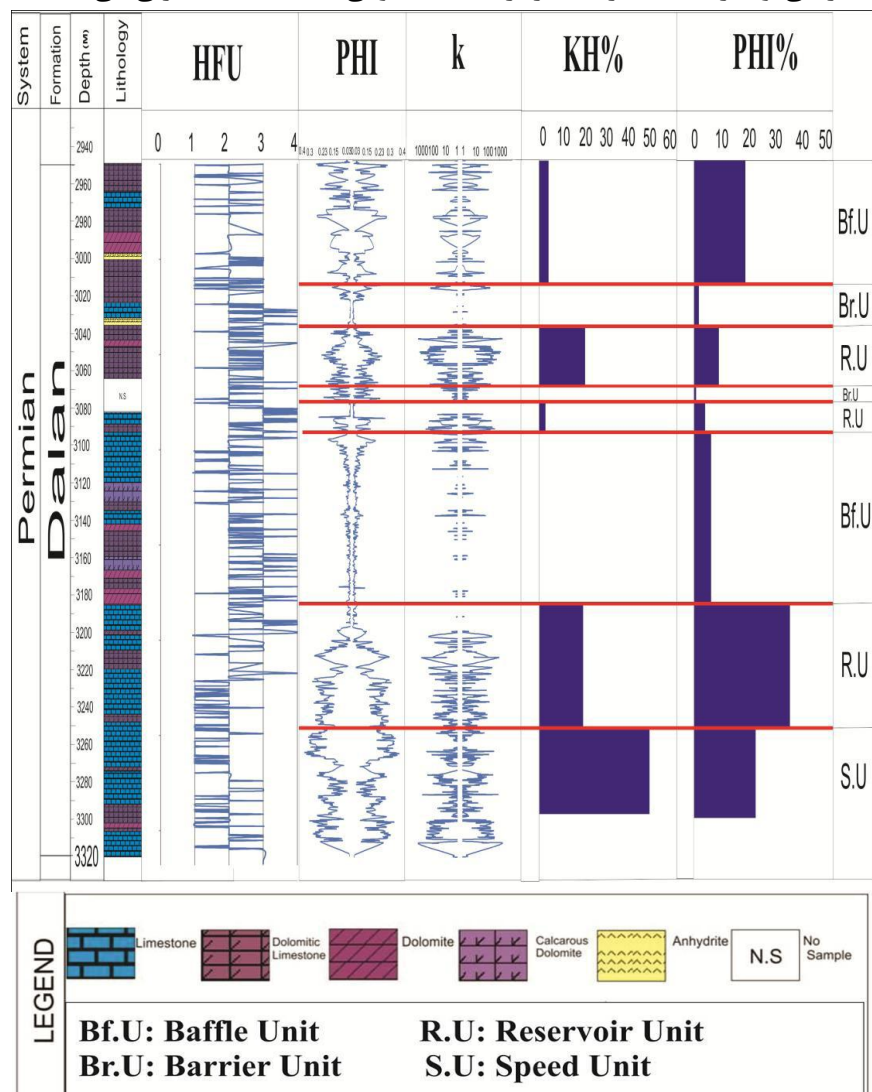
۴. واحد سرعت (Speed units: Sp.U): واحدهایی با بالاترین مقادیر تخلخل و تراوایی و بهترین کیفیت مخزنی.

متدهای ترسیم تغییر یافته چینهای لورنزا بهترین روش برای اندازه گیری حداقل تعداد واحدهای جریانی در یک مخزن استفاده از تکنیک پلات چینهای تغییر یافته لورنزا^۱ می‌باشد (Gomes et al., 2008). این متدهای در واقع یک ابزار گرافیکی است که از داده‌های مختلف نظری چارچوب زمین شناسی، گونه‌های سنگی یا منفذی، ظرفیت ذخیره و ظرفیت جریان استفاده می‌نماید. با یکپارچه نمودن و تلفیق این داده‌ها یک زوناسیون مخزنی بر پایه راک تایپ‌ها (گونه‌های سنگی) قابلیت تبدیل به واحدهای جریانی با ماهیت پتروفیزیکی را پیدا می‌کند.

پلات چینهای تغییر یافته لورنزا از داده‌های پیوسته (فوت به فوت) تخلخل و تراوایی مغذه استفاده نموده و نسبت‌های تراوایی به تخلخل k/phi را در بک ترتیب چینهای منظم می‌نماید

واحد سرعت می‌باشد ولی در عین حال دارای تراوایی قابل ملاحظه ولی کمتر از زون سرعت می‌باشد و دارای کیفیت مخزنی مناسبی می‌باشد. واحدهای بافلی دارای شیب کمتر و مقایر کمتری از ظرفیت جریانی و ظرفیت ذخیره می‌باشند و واحدهای سدی دارای شیب خیلی کم و مقایر ظرفیت مخزنی و ظرفیت جریانی بسیار ناچیز و به نوعی فاقد کیفیت مخزنی می‌باشند.

در توالی مخزنی مورد مطالعه ۸ زون مختلف بر حسب مقادیر متفاوت ظرفیت جریانی و ظرفیت ذخیره شناسایی شده است که در شکل ۱۱ این واحدها نشان داده شده‌اند. واحد سرعت دارای مقادیر تراوایی قابل توجه و ظرفیت جریانی و ظرفیت ذخیره بالایی می‌باشد و به عنوان بهترین واحد جریانی در نظر گرفته می‌شود. واحد مخزنی دارای ظرفیت جریانی و ظرفیت ذخیره کمتر از



شکل ۱۱- توالی چینه‌ای به همراه تعیین واحدهای مختلف مخزنی در مخزن دالان در میدان گازی پارس جنوبی براساس متدهای نشانگر زون جریان (FZI) و متد لورنر (SMLP). تخلخل (PHI)، تراوایی (K)، ظرفیت جریان (PHIH) و ظرفیت ذخیره (KH).

سدی و نهشته‌های توربیدیاتی، گسترش نسبی پهنه‌های جذرومدی همراه با رخساره‌های سدی ائیدی و تغییر تدریجی رخساره‌ها به یکدیگر، محیط رسوبی سازند دالان یک پلاتفرم کربناته از نوع رمپ هم‌شیب^۴ است. در این پلاتفرم کربناته کم‌عمق رخساره‌های با کیفیت مخزنی بالا یعنی رخساره‌های پشته کربناته ائیدی و بایوکلاستی دارای گسترش زیادی هستند که دلیلی اصلی تشکیل آنها تا حد زیادی به علت عدم حضور و یا گسترش موجودات ریف ساز سدی است. این امر موجب ایجاد نیمرخ بسیار کم‌شیب با کیفیت مخزنی بالا گردیده است. بنابراین به طور کلی رمپ کربناته سازند دالان در ناحیه مورد مطالعه از سه قسمت اصلی تشکیل شده است که شامل رمپ داخلی^۵ با کمربندهای رخساره‌ای پهنه‌جذرومدی و لاغون محدود شده، رمپ میانی^۶ با کمربندهای رخساره‌ای پشته کربناته زیرآبی ائیدی بایوکلاستی که حد فاصل لاغون و دریای باز می‌باشد و رمپ خارجی^۷ که در دورترین بخش پلاتفرم به سمت دریای باز قرار داشته و با کمربند رخساره‌ای دریای باز مشخص می‌گردد.

انواع بافت‌های مختلف اندیزیت در مخازن مورد مطالعه طی مراحل مختلف از محیط دیاژنز سطحی تا محیط تدفین کم‌عمق و عمیق تشکیل شده‌اند. بر این اساس گسترش لایه‌ها و نیز بلورها و ندول‌های پراکنده تبخیری در پهنه جذرومدی و سبخایی بصورت تقریباً همزمان با رسوب‌گذاری یا تحت تاثیر دیاژنز اولیه قابل تفسیر است. بافت‌های

نتیجه گیری

سازند دالان به سن پرمین در چاه شماره X به ضخامت ۳۷۱ متر دارای لیتوژئی غالب آهک و دولومیت می‌باشد با مطالعه مقاطع نازک تعداد ۱۸ میکروفاسیس مربوط به زیرمحیط‌های پهنه جذرومدی، لاغون، پشته کربناته و دریای باز شناسایی شده است. رخساره‌های دولومادستون با فابریک فنسترا، بایندستون استروماتولیتی با فابریک فنسترا، پلوئیدال اینتراکلس‌ت مادستون/وكستون، دولومادستون با بلورها و قالب‌های پراکنده اندیزیت، دولومادستون (لایه‌ای) ندول‌های اندیزیت، اندیزیت متبلور (لایه‌ای) در کمربند رخساره‌ای پهنه جذرومدی^۸ تشکیل شده‌اند. رخساره‌های مادستون بایوکلاست‌دار، مادسـتون/وكـتون با بایوکلاستی دارای آشفتگی زیستی، آنکوئید پکستون، گرینستون جلبکی، بایوکلاست پکستون، پلوئیدال وکـتون/پکـتون در کمربند رخساره‌ای لاغون^۹ تشکیل شده‌اند. رخساره‌های پلوئید ائید گرینستون، ائید گرینستون، ائید اینتراکلس‌ت گرینستون، اینتراکلس‌ت بایوکلاست گرینستون در کمربند رخساره‌ای پشته کربناته^{۱۰} نهشته شده‌اند. رخساره‌های بایوکلاست پکستون/وكـتون و بایوکلاست پکـتون همراه با اینتراکلس‌تهای میکریتی در بخش عمیق‌تر دریا و قسمت‌های زیر پشته کربناته تشکیل شده‌اند

مطالعه رخساره‌های میکروسکوپی و مقایسه با رخساره‌های استاندارد فلوگل (Flügel, 2010)، و به دلیل عدم وجود ریف‌های بزرگ

4 - Homoclinal

5 -Inner Ramp

6 -Middle Ramp

7 -Outer Ramp

1- Tidal Flat

2 -Lagoon

3 -Shoal

طی مراحل بعدی دیاژنز باید در بررسی‌های مخزنی مد نظر داشت. براساس متدهای لورنزو و متدهای نشانگر زون جریان، ۴ واحد جریانی و ۸ زون مخزنی برای توالی مورد مطالعه شناسایی شده است که واحد جریانی ۴ دارای بهترین کیفیت مخزنی و واحد جریانی ۱ دارای بدترین کیفیت مخزنی می‌باشد. براساس متدهای لورنزو تعداد ۱ واحد سرعت که دارای بهترین کیفیت مخزنی با تراوایی بالا، ۳ واحد مخزنی با کیفیت مخزنی متوسط، ۲ واحد سدی به عنوان سدهای جریانی و ۲ واحد بافلی در توالی مورد مطالعه شناسایی گردیده است.

بافت‌های مختلف سیمان اینیدریت و ارتباط آن با کیفیت مخزنی در مخازن کربناته دلان بالایی و کنگان، میدان پارس جنوبی، مجله پژوهش‌های چینه نگاری و رسوب شناسی، سال بیست و هفتم، شماره پیاپی ۴۲-۱۴۲. (۲۶).

-Ahr, W.M., 2008. Geology of carbonate reservoirs. John Wiley and Sons, Chichester, 296p.

-Burchette, T. P., and Wright, V. P., 1992. Carbonate ramp depositional systems. *Sedimentary Geology*, v. 79, p.3-57.

-Cai-neng, Z.,T. Shi-Zhen, Z. Hui, Z. Xiang-xiang, H. Dong-BO, Z. Ru-kai, L. Ping, Y. Xuan-jun, X. Chun-chun, and Y. Hua, 2008, Genesis, classification, and evaluation method of diagenetic facies. In: *Petroleum Exploration and Development*, v. 35, no. 5, p. 526-540.

-Dickson, J.A.D., 1965. A modified staining technique for carbonate in thin section, *Nature*, v.205, p.587.

دیگر اینیدریت مانند سیمان اینیدریت فرآگیر، بخش عمده سیمان اینیدریت پوئیکیلوتوپیک و اینیدریت پر کننده شکستگی‌ها طی مراحل دیاژنز تدفینی و با نفوذ سورابه‌های تبخیری به درون رخساره‌ها تشکیل شده‌اند.

نتایج این مطالعه نشان می‌دهد که سیمان اینیدریت پر کننده تخلخل و فرآگیر نسبت به دیگر انواع بافت‌های اینیدریت بیشترین تاثیر را بر کیفیت مخزنی داشته است و با گسترش در بین رخساره‌های دانه غالب مخزن طی مراحل تدفین کم‌عمق، تخلخل و تراوایی آنها را به شدت کاهش داده است. اما از طرف دیگر تاثیر فرآیندهای دیگری مانند شکستگی و بویژه انحلال را در این رخساره‌ها

منابع

- آدابی، م.ح، ۱۳۹۰. ژئوشیمی رسوبی، انتشارات آرین زمین، چاپ دوم، ۵۰۳ ص.
- کددخدایی ایلخچی، ر، رحیم پوربناب، ح، موسوس حرمی، س.ر، کددخدایی ایلخچی، ع، ۱۳۹۰، فاکتورهای کنترل کننده گسترش -Aali, J., Rahimpour-Bonab, H., and Kamali, M.R., 2006, Geochemistry and origin of the world largest gas field from Persian Gulf, Iran. Journal of Petroleum Science and Engineering, v. 50, p. 161-175.
- Adabi, M.H., 2009, Multistage dolomitization of Upper Jurassic Mozduran Formation, Kopet-Dagh Basin, N.E. Iran, Carbonates and Evaporites. v. 24, no. 1, p. 16-32.
- Adabi, M.H., and Rao, C.P., 1996. Petrographic, elemental and isotopic criteria for the recognition of carbonate mineralogy and climates during the Jurassic (e.g. from Iran and England), 13th Geology. Conv. Australia, (abst), p. 6.

- Kashfi, M.S., 2000. Greater Persian Gulf Permian-Triassic stratigraphic nomenclature requires study. *Oil Gas Journal*. Tulsa, v. 6, p. 36-44.
- Konyuhov, A.I., and Maleki, B., 2006. The Persian Gulf Basin: Geological history, sedimentary formations, and petroleum potential. *Lithology and Mineralogy Resources*, Russia, v. 4, p. 334-361.
- Lucia, F. J., 2007. Carbonate Reservoir Characterization: An Integrated Approach Springer, Second Edition, 366 p.
- Rahimpour-Bonab, H., Esrafilizadeh, B., and Tavakoli, V., 2010. Dolomitization and anhydrite precipitation in Permo-Triassic carbonates at the South Pars Gasfield, offshore Iran: controls on reservoir quality, *Petroleum Geology*, v. 33, p. 1-24.
- Sibley, D. F., and Gregg, J. M., 1987. Classification of dolomite rock texture, *Journal of Sedimentary Petrology*, v. 57, p. 967-975.
- Szabo, F., and Kheradpir, A., 1978. Permian and Triassic stratigraphy, Zagros Basin, southwest Iran. *Journal of Petroleum Geology*, v.1, p. 57-82.
- Warren, J., 2006, Evaporites: Sediments, Resources and Hydrocarbons, Springer Verlag, 1035p.
- Dunham, R.J., 1962. Classification of carbonate rocks according to depositional texture, in: classification of carbonate rocks, Ham, W. E (ed), AAPG Memoir, p. 108-121.
- Flügel, E., 2010. Microfacies of Carbonate Rocks, Analysis, Interpretation and Application, Springer Verlag, Berlin, 984p.
- Gomes, J.S., Ribeiro, M.T., Strohmenger, C.J., Negahban, and S., Kalam, M.Z., 2008. Carbonate reservoir rock typing the link between geology and SCAL. Society of Petroleum Engineers 118284.
- Gundogan, I., O. Mehmet., and Tolga, D., 2005. Sedimentology, petrography and diagenesis of Eocene-Oligocene evaporates: the Tuzhisar Formation, SW Sivas basin, Turkey. In: *Journal of Asian Earth Sciences*. v.25, p. 791-803.
- Heydari, E., Arzani, N., and Hassanzadeh, J., 2009. Reply to comment on Mantle Plume: the invisible serial killer-application to the Permian-Triassic boundary mass extinction. *Palaeogeography, Palaeoclimatology, Palaeoecology*, p. 147-162.
- Hood, S. D., Nelson, C. S., and Kamp, P. J. J., 2004. Burial dolomitisation in a non-tropical carbonate petroleum reservoir: the Oligocene Tikorangi Formation, Taranaki Basin, New Zealand, *Sedimentary Geology*, v.172, p.117-138.